




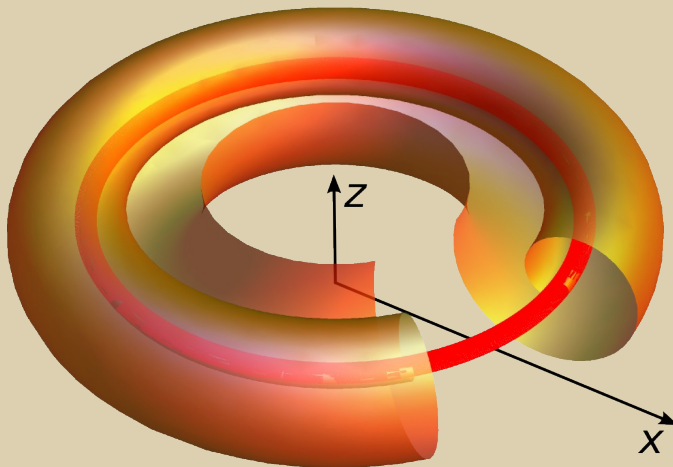
# **Dreidimensionale Erregungswellen in oszillatorischen Medien**

**Fabian Paul**



# Einleitung

Wechselwirkung eines Scrollrings mit einem Neumann-Rand.



$$\mathbf{n} \cdot \mathbf{j}_i = 0$$

mit  $\mathbf{j}_i = -D_i \nabla c_i$

$$\frac{\partial c_i}{\partial \mathbf{n}} = 0$$

- Fenton (1999) im 2V Fenton-Karma-Modell im Regime ohne Meandern
- Gast (2009) im Oregonator-Modell bei negativer Filamentspannung
- Azhand, Buchholz (laufende Arbeit) im Oregonator-Modell

# Gliederung

- Hopf-Bifurkation im Reaktions-Diffusions-System
  - die komplexe Ginzburg-Landau-Gleichung
  - Wahl der Parameter
- Erinnerung: WW eine Spiralwelle mit einem Neumann-Rand
- Wechselwirkung eines Scrollrings mit einem Neumann-Rand
  - Charakterisierung der Dynamik
  - phänomenologische Theorie
  - geneigte Scrollringe
- Zusammenfassung und Ausblick

# Hopf-Bifurkation im Reaktions-Diffusions-System

Reaktions-Diffusions-System

$$\dot{\mathbf{c}} = \mathbf{F}(\mathbf{c}; \mu) + \underline{\underline{D}} \Delta \mathbf{c}$$

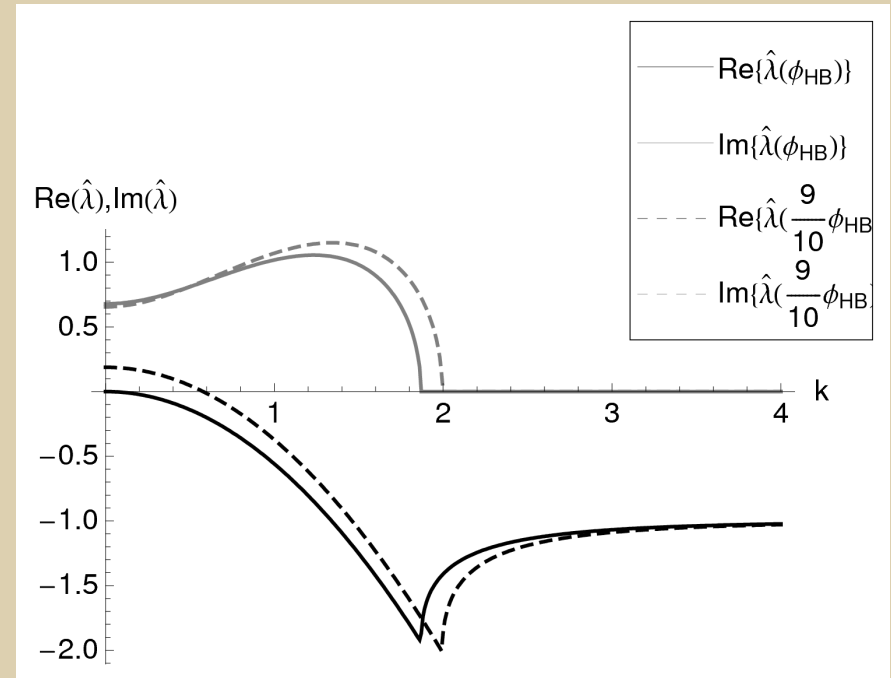
lineare Stabilitätsanalyse

$$\mathbf{c}_k(r, t) = \mathbf{c}_0 + \mathbf{U}_k e^{\lambda t} \cos(kr)$$

$$(\underline{\underline{L}}[\mathbf{c}_0(\mu), \mu] - \underline{\underline{D}}k^2) \mathbf{U}_k = \lambda \mathbf{U}_k$$

$$\sigma = \text{Re}(\lambda) \propto k^2 \Rightarrow \begin{cases} \sigma \propto \mu \\ k \propto \mu^{1/2} \end{cases}$$

$$\mathbf{c} = \mathbf{c}_0 + \epsilon \mathbf{Z}(\tau, s) \mathbf{U} e^{i\omega_0 t} + c.c. + h.o.t.$$



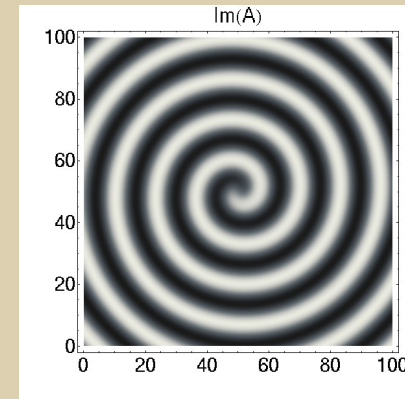
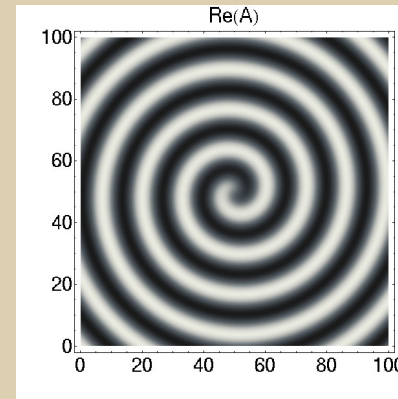
$$q = 2 \cdot 10^{-4}, f = 1,16, \epsilon = 0,0852, \epsilon' = 0,00094, \\ D_u = 1, D_w = 1,12, \Phi_{HB} = 0,000428$$

# die komplexe Ginzburg-Landau-Gleichung

$$\frac{\partial}{\partial t} A = A + (1 + i\alpha) \Delta A - (1 + i\beta) |A|^2 A$$

Kohärente Strukturen

- Phasendefekte in 1-D
- Spiralen in 2-D



$$A(r, \theta, t) = F(r) \exp i[-\omega t \pm m\theta + \psi(r)]$$

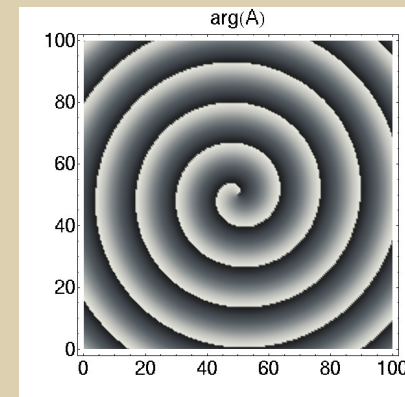
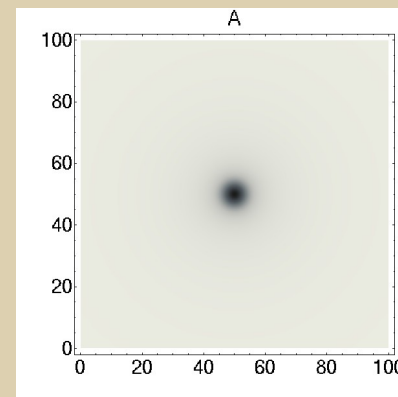
$$F \propto r, d\psi/dr \propto r \quad \text{für } r \rightarrow 0$$

$$F \rightarrow \sqrt{1 - k^2}, d\psi/dr \rightarrow k \quad \text{für } r \rightarrow \infty$$

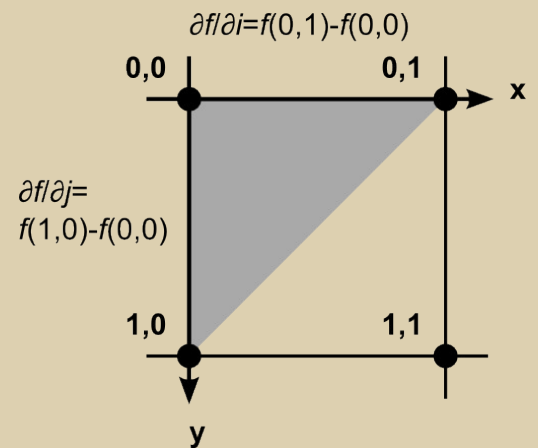
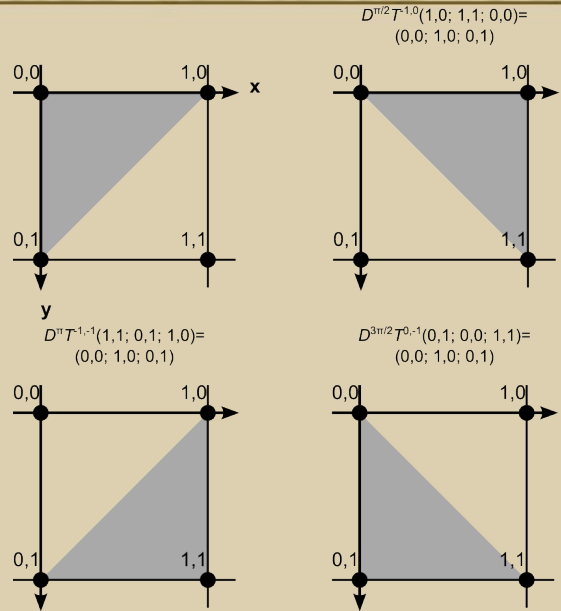
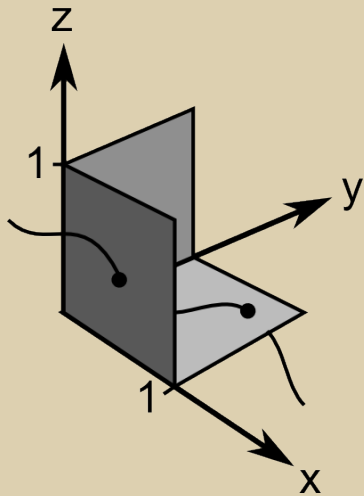
- Scrollwellen in 3-D

Defekte

$$\oint_C \nabla \phi \cdot ds = \pm 2\pi$$
$$A=0$$



# Bestimmung von Phasendefekten und Filamenten



$$0 = a(\Delta i, \Delta j) \approx a(0,0) + \Delta i \frac{\partial a}{\partial i}(0,0) + \Delta j \frac{\partial a}{\partial j}(0,0)$$

$$0 = b(\Delta i, \Delta j) \approx b(0,0) + \Delta i \frac{\partial b}{\partial i}(0,0) + \Delta j \frac{\partial b}{\partial j}(0,0)$$

$$\begin{pmatrix} \Delta i \\ \Delta j \end{pmatrix} = - \begin{pmatrix} \partial_i a(0,0) & \partial_j a(0,0) \\ \partial_i b(0,0) & \partial_j b(0,0) \end{pmatrix}^{-1} \begin{pmatrix} a(0,0) \\ b(0,0) \end{pmatrix}$$

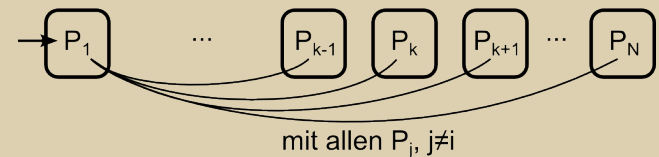
# union-find-Algorithmus

- Jeder Punkt wird in einem „Behälter“ gespeichert.
- Es werden *verbundene* Behälter gesucht.
- Zwei Behälter gelten als verbunden, wenn es einen Punkt  $\mathbf{P}_1$  aus  $B_1$  und einen Punkt  $\mathbf{P}_2$  aus  $B_2$  gibt mit  $d(\mathbf{P}_1, \mathbf{P}_2) = \|\mathbf{P}_1 - \mathbf{P}_2\| < \varepsilon$
- Verbundene Behälter werden zusammengefasst.
- Am Ende ist in jedem Behälter ein Filament.

Initialisierung



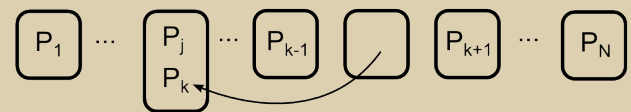
vergleiche jedes  $P_i$



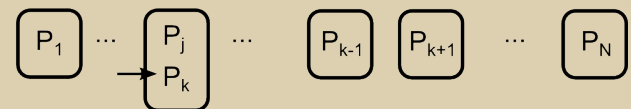
falls  $d(P_j, P_k) < \varepsilon$



verschiebe den Inhalt des Behälters



lösche den Behälter und setze den Vergleich fort.



# Wahl der Parameter

$$\frac{\partial}{\partial t} A = A + (1 + i\alpha) \Delta A - (1 + i\beta) |A|^2 A$$

Parameter:

$\alpha$  Querdiffusion

$\beta$  nichtlineare Oszillation

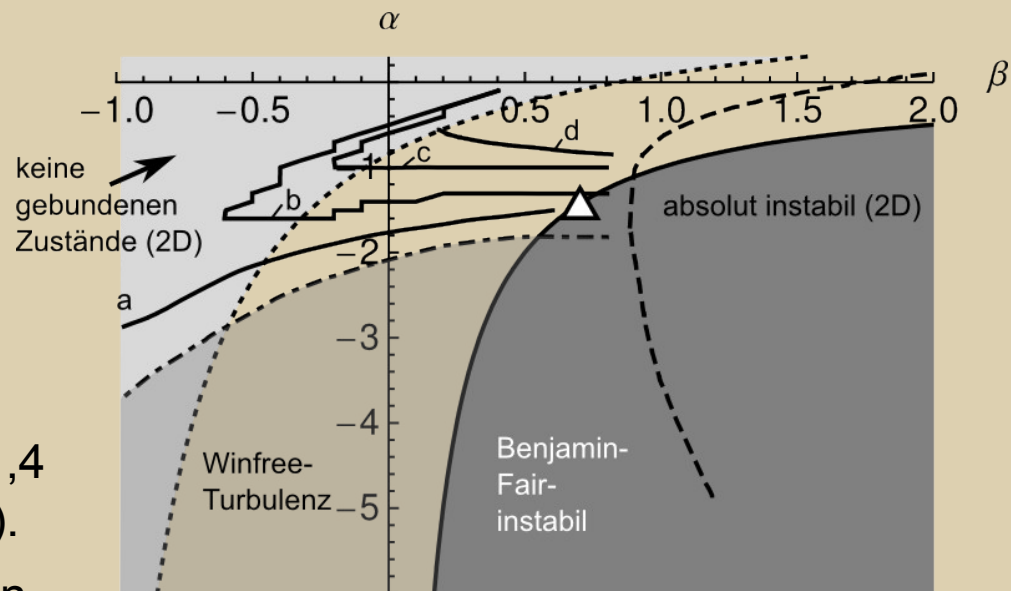
Methoden

reduktive Störungstheorie  
(Amplitudengleichung)

quenching-Experimente z.B.  $\alpha = -1,4$   
 $\beta = 0,7$  für die BZR (Kramer, 1994).

Messung der Filamentpsannung in  
Einheiten, die durch das System  
vorgegeben sind:

$$\frac{C k^2}{\omega - \omega_{hom}} = \frac{1 + \alpha^2}{\alpha - \beta}$$



Kuramoto 1984; Aranson et al. 1992; Aranson, Kramer, Weber 1993; Aranson, Bishop, Kramer 1998; Nam et al. 1998; Rousseau, Chate, Kapral 2008

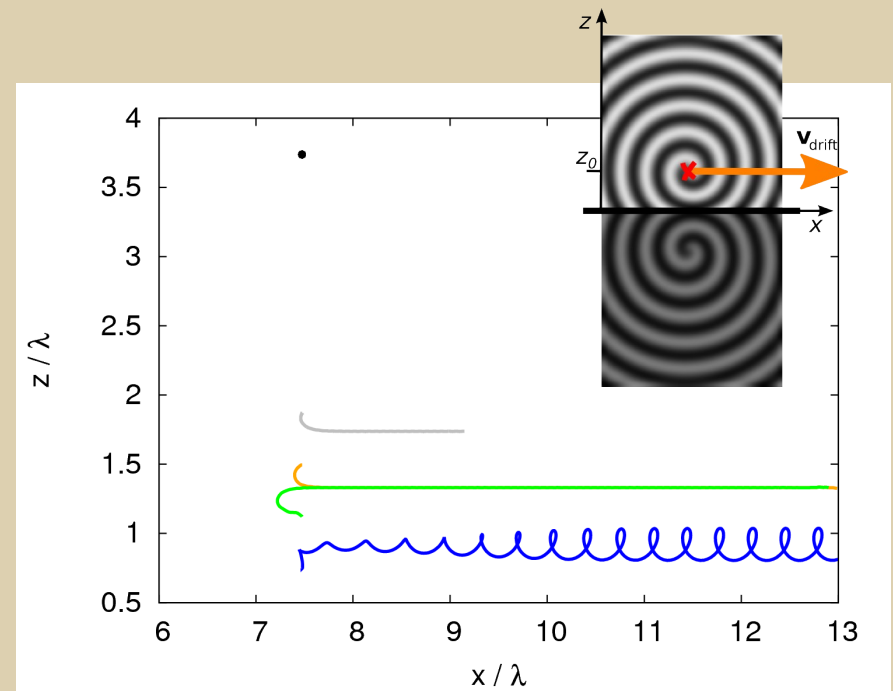


# Erinnerung: Wechselwirkung eine Spiralwelle mit einem Neumann-Rand

- Folge von Attraktoren, die die Spiralwelle in einen festen Abstand  $z_{att}$  ziehen
- im Attraktor driftet die Spiralwelle parallel zum Rand
- die Driftgeschwindigkeit sinkt mit steigendem  $z_{att}$
- der erste Fixpunkt von  $v_z(z)$  kann instabil sein  $\rightarrow$  Meandern
- für  $z \gg \lambda$ , ist die WW sehr schwach, Beobachtung in der Numerik nicht möglich; starre Rotation der Spiralwelle

$$v_{\perp}(z) = -\exp(-az) \sin(bz) z^c$$

$$v_{\parallel}(z) = \exp(-az) z^c [D \cos(bz) + E \sin(bz)]$$



# Wechselwirkung Scrollrings mit einem Neumann-Rand

Gabbay, Ott, Guzdar, 1998

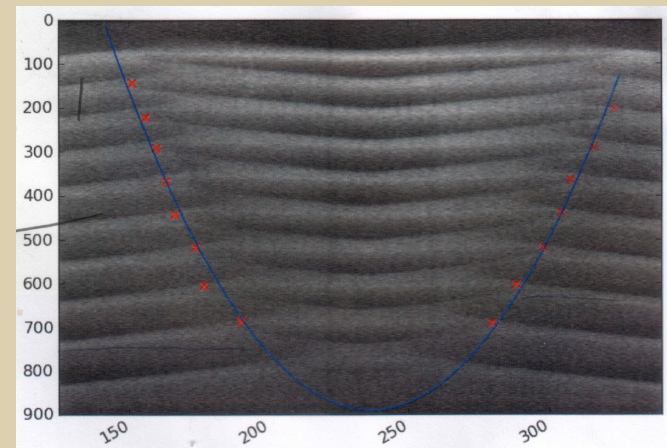
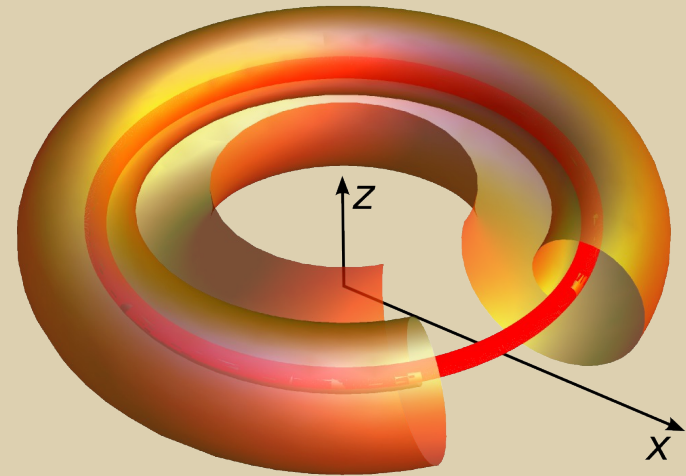
$$\frac{d}{dt} R = -\frac{1 + \alpha^2}{R}$$

$$\frac{d}{dt} z = 0$$

Lösung

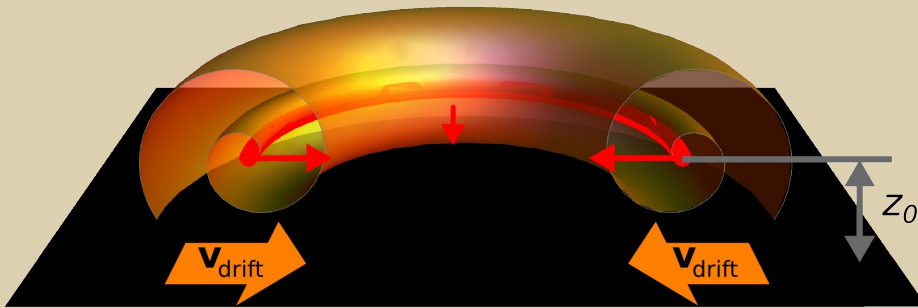
$$R(t) = \sqrt{R_0^2 - 2t(1 + \alpha^2)}$$

$$z(t) = z_0$$

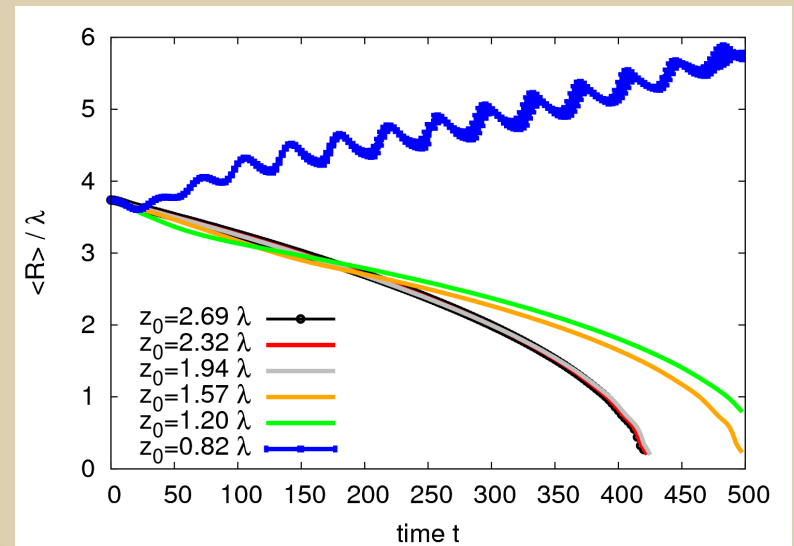
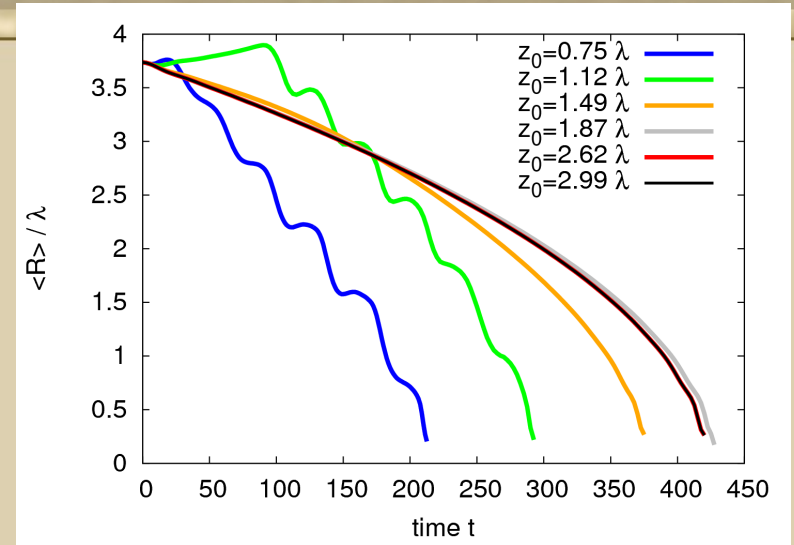
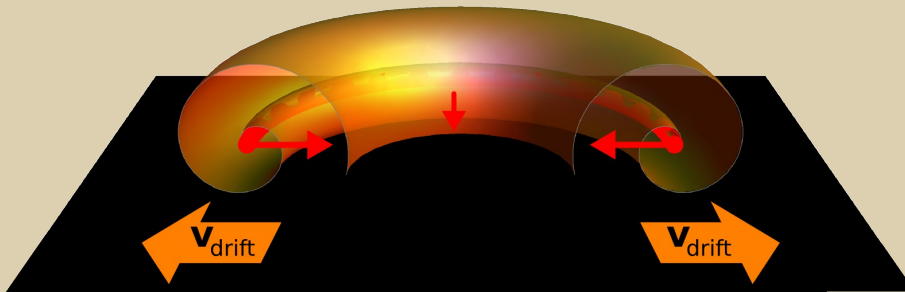


# Charakterisierung der Dynamik

kooperative Anordnung



antagonistische Anordnung



# phänomenologische Theorie

aus der Störungstheorie:

$$v_{\parallel}(t \rightarrow \infty) = v_{\parallel}(z) \quad v_{\perp}(t \rightarrow \infty) = v_{\perp}(z)$$

Annahme: der Scrollring wird schnell in einen festen Abstand zum Rand gezogen

$$\frac{d}{dt} z = \frac{1}{\tau} (z - z_i^*) \text{ mit } v_{\perp}(z_i^*) = 0 \Rightarrow v_{\parallel}(z_i^*) = \text{const}$$

Dann kann die Kontraktionsrate korrigiert werden:

$$\frac{d}{dt} R = -\frac{1 + \alpha^2}{R} + v_{\parallel}$$

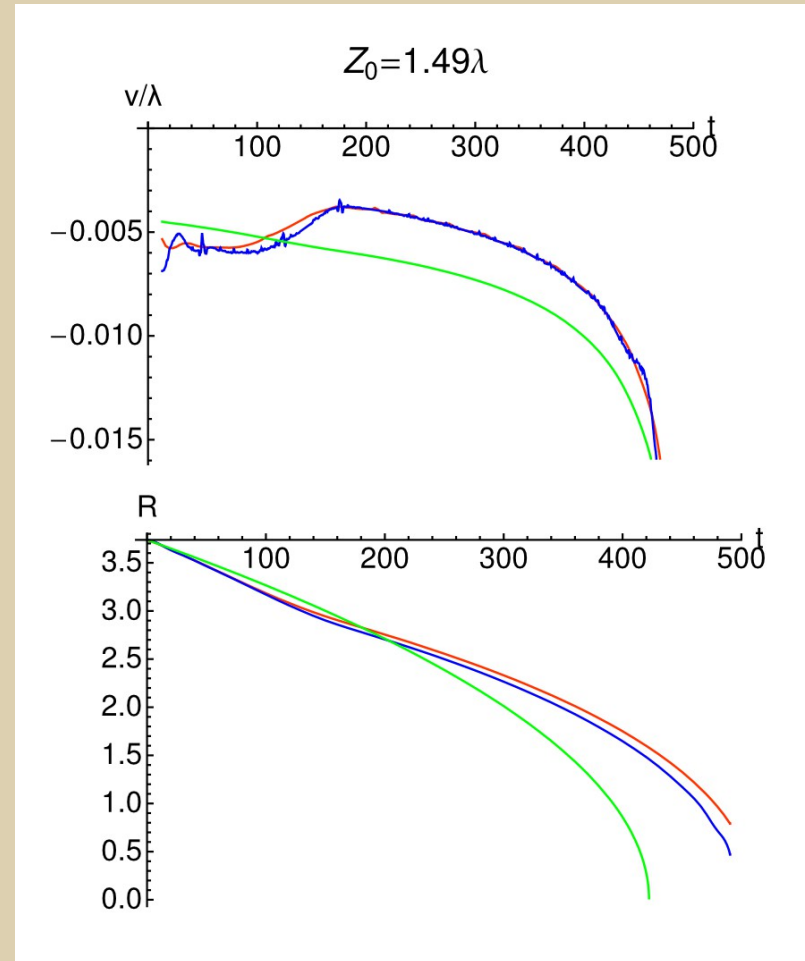
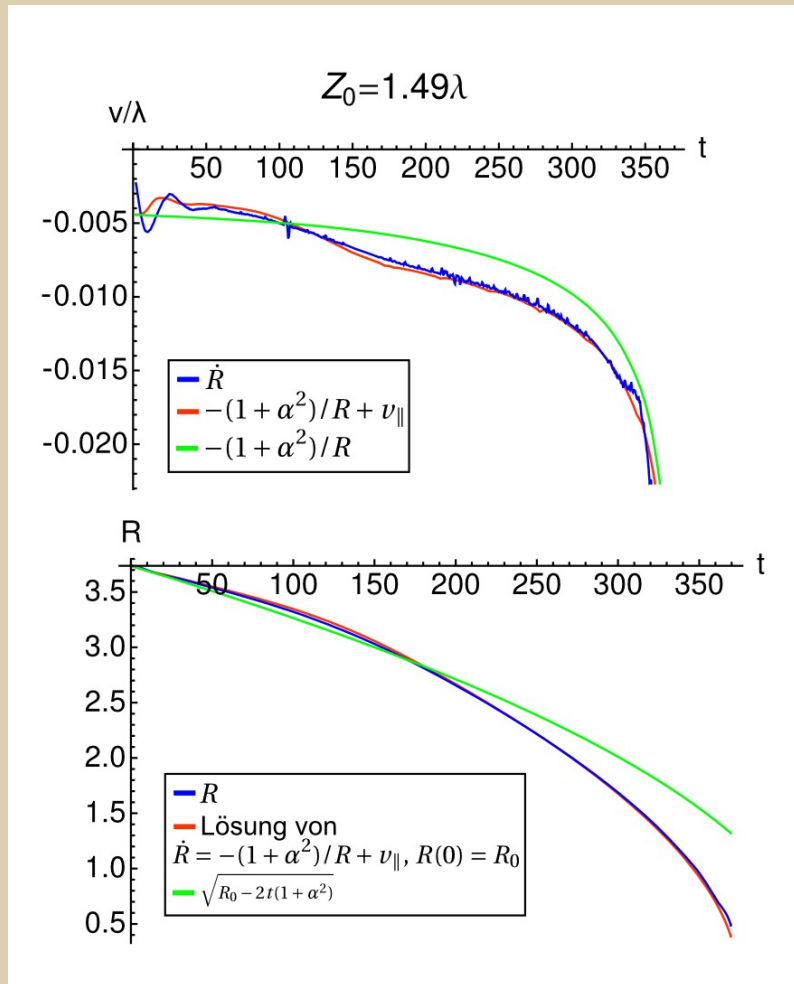
Fixpunkt:

$$R^* = \frac{1 + \alpha^2}{v_{\parallel}}$$

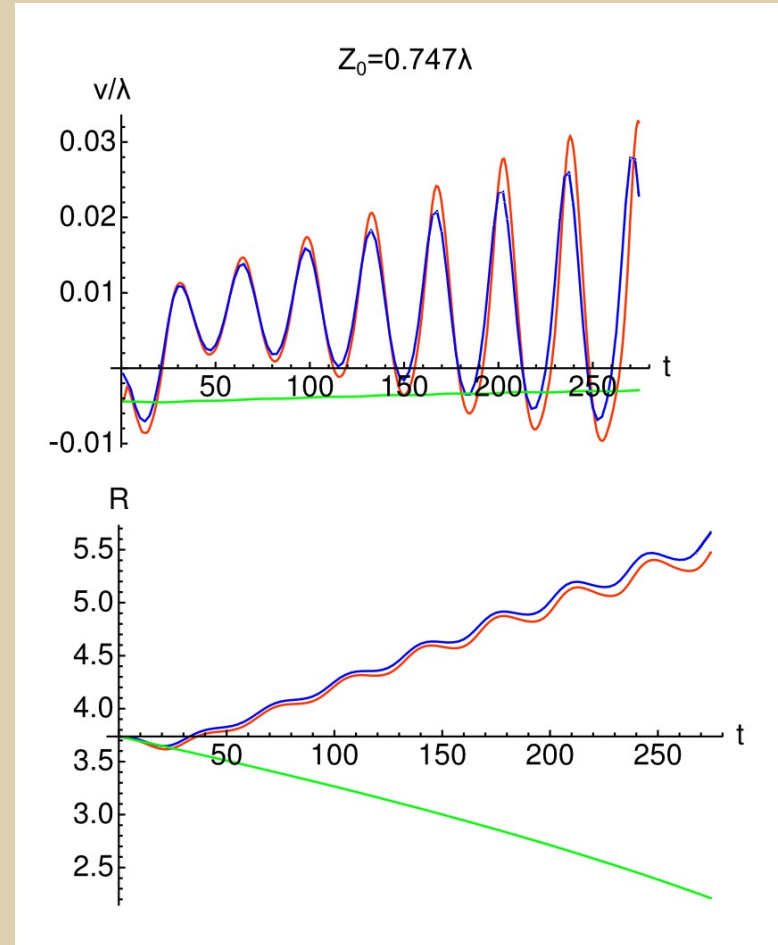
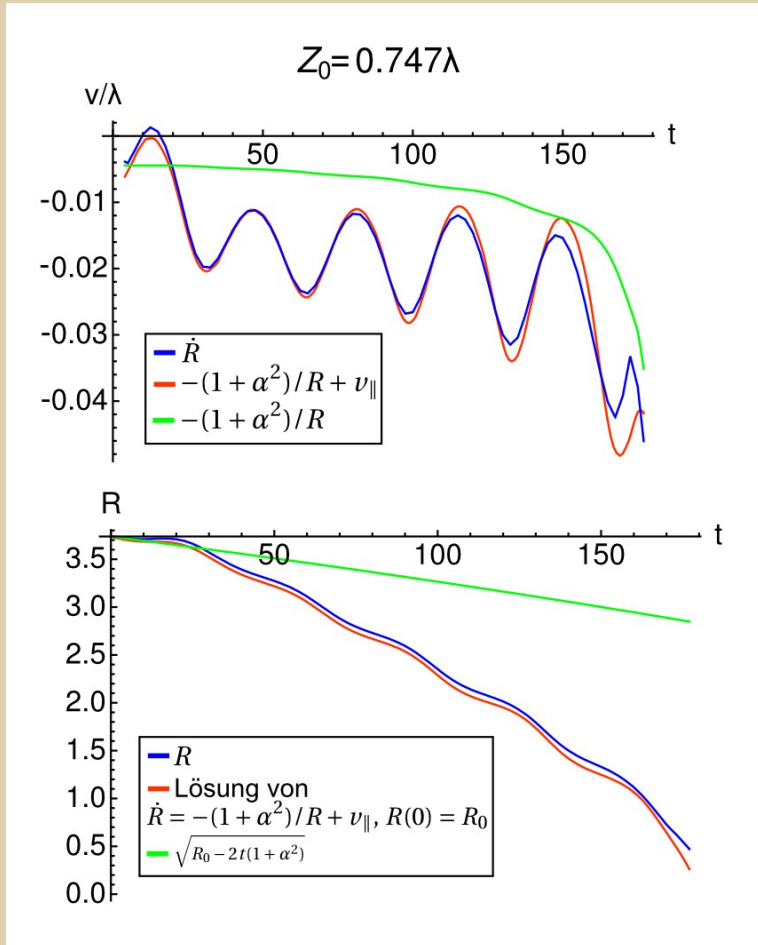
Stabilität

$$J(R)|_{R=R^*} = \frac{1 + \alpha^2}{R^{*2}} = \frac{v_{\parallel}^2}{1 + \alpha^2} > 0$$

# phänomenologische Theorie

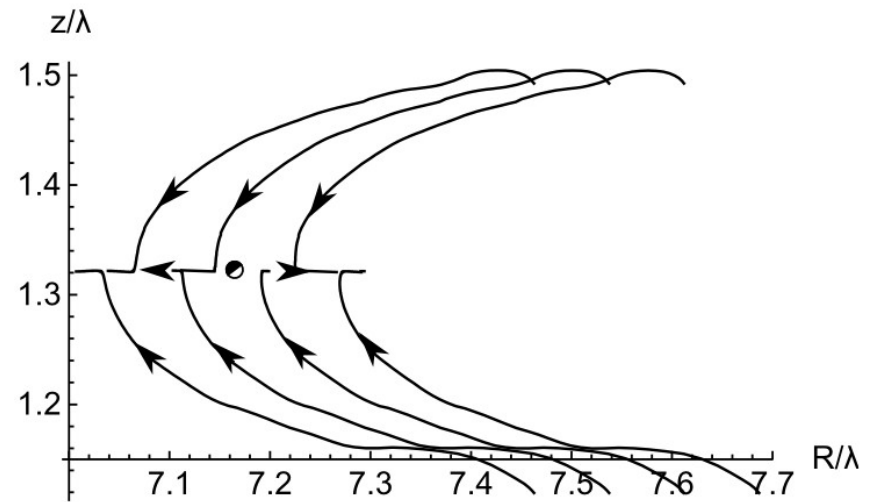
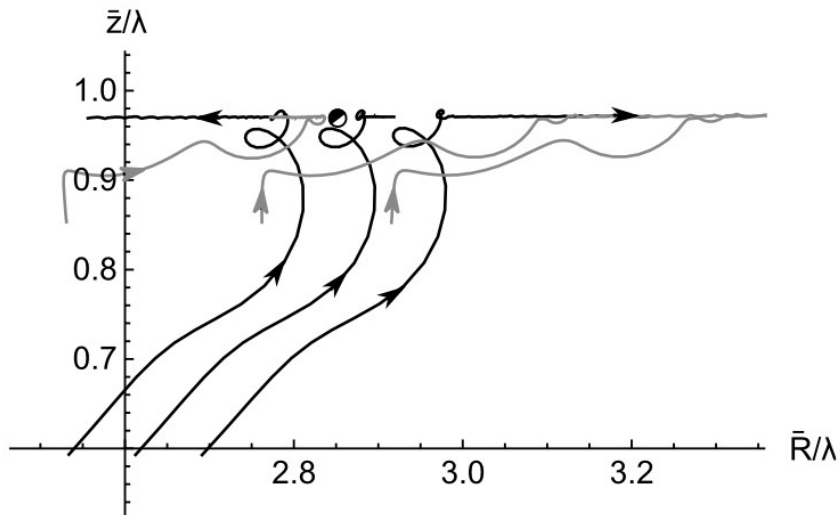


# phänomenologische Theorie



# phänomenologische Theorie

Entwicklung eines Felds  
von Anfangsbedingungen  
in der  $(R, z)$ -Ebene



$$\bar{R}(t) = \frac{1}{20} \sum_{i=0}^{20} R(t+2i)$$

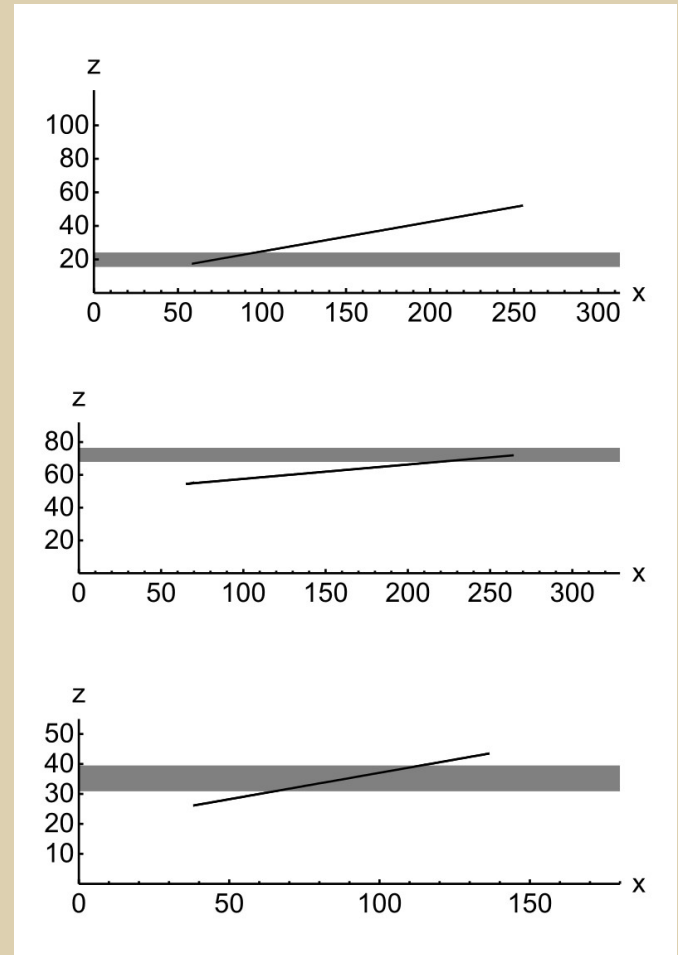
$\bar{z}(t)$  analog

# geneigte Scrollringe

konstante Drift,  
kooperative Anordnung:  
Filament wird aus dem Attraktor  
vertrieben

konstante Drift,  
antagonistische Anordnung:  
Filament wird „festgehalten“

Drift und Meandern,  
antagonistische Anordnung:  
Filamentwellen und Verdehung  
der Phase





# Zusammenfassung

- Die Wechselwirkung mit dem Neumann-Rand (wie sie für Spirawellen in der CGLE bekannt ist) führt zu einer Änderung der Drift und der Kontraktionsrate bei Scrollringen.
- Sie führt zu einem Sattelpunkt in der  $(R,z)$ -Ebene. Insbesondere ist Expansion möglich.
- Im Fall von konstanter Drift und auch Drift mit Meanderbewegung gilt eine phänomenologische Gleichung in der die intrinsische Dynamik und die Rand-induzierte Drift additiv eingehen.
- Bei verkippten Scrollringen wirkt ein meandernder Bereich als Quelle von Filamentwellen. Die Phase ist um das Filament gewunden.

# Offene Fragen

- Annahme, dass der Parameterbereich, in dem es stabile Paare von Spiralwellen/ Scrollwellen gibt, im Dreidimensionalen und im Zweidimensionalen identisch ist: systematische Untersuchung nötig
- instabiler Fixpunkt in der kinematischen Beschreibung von Aranson, Kramer, Weber (1993) und Beobachtung von Meandern → Hopf-Bifurkation?
- Werte für die Parameter  $\alpha$  und  $\beta$  aus dem Experiment



**Danke für Ihre Aufmerksamkeit!**

# Literatur

- Kuramoto. Chemical Oscillations, Waves, and Turbulence (1984) Springer-Verlag
- Gabbay, Ott, and Guzdar (1998) The dynamics of scroll wave filaments in the complex Ginzburg-Landau equation. *Physica D*, **118** (3-4), 371.
- Aranson, Kramer, and Weber (1993) Theory of interaction and bound states of spiral waves in oscillatory media. *Phys. Rev. E*, **47** (5), 3231.
- Kramer, Hynne, Sørensen, and Walgraef. (1994) The Ginzburg–Landau approach to oscillatory media. *Chaos* **4** (3), 443.
- Sepulchre and Babloyantz (1993) *Phys. Rev. E*, **48** (1), 187.